

# Une méthode itérative convergente pour le couplage FEMBEM élastodynamique-acoustique global en temps.

Alice NASSOR

Laboratoire Poems (CNRS, ENSTA Paris, INRIA) - Institut Polytechnique de Paris,  
Naval Group - DGA

Encadrée par Stéphanie Chaillat et Marc Bonnet

17/09/2021

## Objectif

Simulation complète, réaliste et efficace du comportement de la structure lorsqu'elle est soumise à des explosions sous-marines à distance.

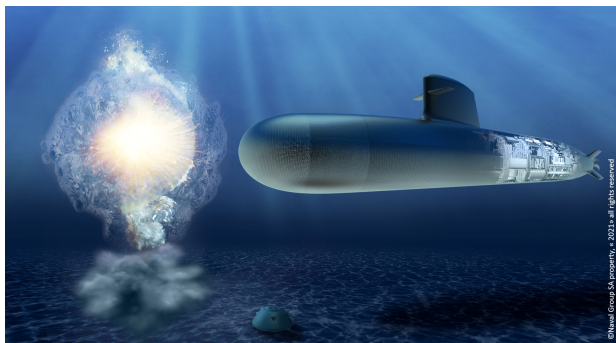
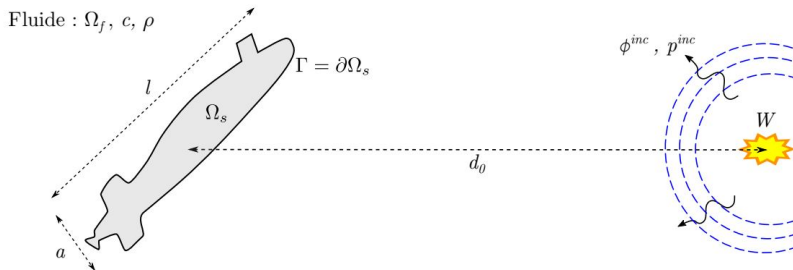


IMAGE : ©Naval Group (2011), sur le site <https://www.inria.fr/fr/modeliser-logiciel-equipe-poems-naval-group>

1. Le problème d'interaction fluide-structure couplé
2. Objectif : un couplage FEM/Z-BEM itératif, global en temps
3. Problèmes d'évolution : Neumann et Robin
4. Validation numérique de la procédure

# Explosion sous-marine à distance



Explosion sous-marine :

1. Onde rapide acoustique
2. Mouvement lent de fluide potentiel

IMAGE : D. MAVALEIX-MARCHESSOUX, "Modelling the fluid-structure coupling caused by a far-field underwater explosion".  
PhD thesis, Institut Polytechnique de Paris, 2020

# Le problème couplé

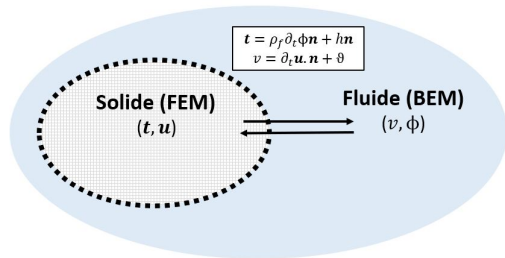
Décomposition :  $p^{\text{tot}} = p^{\text{inc}} + p$

Variables fluides :  $v = \nabla \phi \cdot \mathbf{n} = \partial_n \phi, \quad p = -\rho_f \partial_t \phi$

Variables solides :  $\mathbf{u}, \quad \mathbf{t} = \sigma[\mathbf{u}] \cdot \mathbf{n}$

$$\left\{ \begin{array}{ll} \Delta \phi - \frac{1}{c^2} \partial_{tt} \phi = 0 & \text{sur } \Omega_f \times [0, T] \\ -\text{div} \sigma[\mathbf{u}] + \rho_s \partial_{tt} \mathbf{u} = \mathbf{0} & \text{sur } \Omega_s \times [0, T] \\ \\ \mathbf{t} = \rho_f \partial_t \phi \mathbf{n} - p^{\text{inc}} \mathbf{n} & \text{sur } \Gamma \times [0, T] \\ v = \partial_t \mathbf{u} \cdot \mathbf{n} - v^{\text{inc}} & \text{sur } \Gamma \times [0, T] \\ \\ \phi(0, x) = \partial_t \phi(0, x) = 0 & \text{sur } \Omega_f \\ \mathbf{u}(0, x) = \partial_t \mathbf{u}(0, x) = 0 & \text{sur } \Omega_s \end{array} \right.$$

# Couplage itératif FEM/Z-BEM en temps



- Contexte industriel et déformations non linéaires possibles dans le solide  $\rightarrow$  FEM
- Domaine fluide de grande taille  $\rightarrow$  BEM
- Hautes fréquences  $\rightarrow$  Z-BEM avec CQM

# Z-BEM<sup>1</sup> en temps avec CQM

Équation intégrale de frontière dans le domaine temporel (méthode des potentiels retardés) :

$$\frac{1}{2}\phi(\mathbf{x}, t) = - \int_{\Gamma} \frac{\partial G}{\partial n}(r, t) \star \phi(\mathbf{y}, t) d\Gamma + \int_{\Gamma} G(r, t) \star \frac{\partial \phi}{\partial n}(\mathbf{y}, t) d\Gamma \quad t \in [0, T], \mathbf{x} \in \Omega_f, \mathbf{y} \in \Gamma$$

Convolution quadrature method (CQM)<sup>2</sup>

Transformée Z d'un produit de convolution  $q =$  transformée de Laplace  $\overline{G} \times$  transformée en Z de F

$$q(t) = (G \star f)(t) = \int_0^t G(t-\tau) f(\tau) d\tau \quad \forall t \geq 0 \text{ avec } f = \frac{\partial \phi}{\partial n} \text{ connu}$$

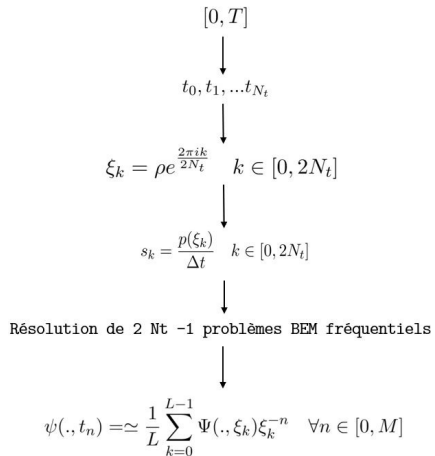
$$Q(\xi) = \overline{G}(s) F(\xi) \quad \xi \in \mathbb{C}, \quad s = \frac{p(\xi)}{\Delta t}$$

$$\frac{1}{2}\Phi(x, \xi) - \int_{\Gamma} \frac{\partial \overline{G}}{\partial n}\left(r, \frac{p(\xi)}{\Delta t}\right) \Phi(y, \xi) d\Gamma + \int_{\Gamma} \overline{G}\left(r, \frac{p(\xi)}{\Delta t}\right) \frac{\partial \Phi}{\partial n}(y, \xi) d\Gamma = 0$$

1. D. MAVALEIX-MARCHESSOUX, "Modelling the fluid-structure coupling caused by a far-field underwater explosion". PhD thesis, Institut Polytechnique de Paris, 2020

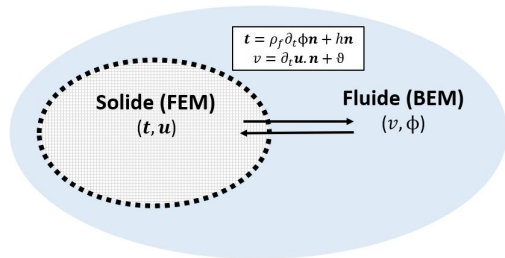
2. C. LUBICH. "Convolution quadrature and discretized operational calculus. I." Numerische Mathematik 52(1988) : 129-145

# Étapes de l'algorithme Z-BEM





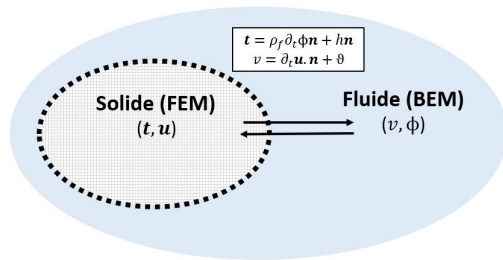
# Couplage itératif FEM/Z-BEM en temps



- Contexte industriel et déformations non linéaires possibles dans le solide  $\rightarrow$  FEM
- Domaine fluide de grande taille  $\rightarrow$  BEM
- Hautes fréquences  $\rightarrow$  Z-BEM avec CQM

$\Rightarrow$  Couplage itératif FEM/Z-BEM global en temps avec convergence garantie

# Couplage itératif FEM/Z-BEM en temps



- Contexte industriel et déformations non linéaires possibles dans le solide  $\rightarrow$  FEM
- Domaine fluide de grande taille  $\rightarrow$  BEM
- Hautes fréquences  $\rightarrow$  Z-BEM avec CQM

$\Rightarrow$  Couplage itératif FEM/Z-BEM global en temps avec convergence garantie

Problème : une procédure itérative "naïve" ne converge pas.

Pourquoi ?

Comment définir un couplage FEM/ Z-BEM convergent ?

# Stratégie de couplage itérative "naïve" : deux problèmes de Neumann

**Décomposition de domaine** : à chaque itération  $i$ , on résout 2 problèmes distincts sur chaque sous-domaine. Chaque problème admet une condition limite de Neumann.

Itérations globales en temps :  $i \geq 1$ , sur tout l'intervalle de temps  $[0, T]$  :

$$\begin{cases} \Delta \phi^i(t) + \frac{1}{c_f^2} \partial_{tt} \phi^i(t) = 0 & \text{sur } \Omega_f \\ \partial_n \phi^i(t) = \partial_t \mathbf{u}^{i-1}(t) \cdot \mathbf{n} - v^{\text{inc}} & \text{sur } \Gamma \\ \phi^i(0) = \partial_t \phi^i(0) = 0 \end{cases}$$

Problème acoustique de Neumann (Z-BEM)

$$\begin{cases} -\text{div}(\sigma[\mathbf{u}^i]) + \rho_s \partial_{tt} \mathbf{u}^i(t) = 0 & \text{sur } \Omega_s \\ \mathbf{t}[\mathbf{u}^i](t) = \rho_f \partial_t \phi^{i-1} \mathbf{n} - p^{\text{inc}} \mathbf{n} & \text{sur } \Gamma \\ \mathbf{u}^i(0) = \partial_t \mathbf{u}^i(0) = 0 \end{cases}$$

Problème élastodynamique de Neumann (FEM)

Ces deux problèmes d'évolution sont-ils bien posés ?

# Problème d'évolution de Neumann

On considère l'un des deux problèmes

$$\begin{cases} \Delta\phi(t) + \frac{1}{c_f^2}\partial_{tt}\phi(t) = 0 & \text{sur } \Omega_f \\ \partial_n\phi(t) = f(t) & \text{sur } \Gamma \\ \phi(0) = \partial_t\phi(0) = 0 \end{cases}$$

ou

$$\begin{cases} -\operatorname{div}(\sigma[\mathbf{u}]) + \rho_s\partial_{tt}\mathbf{u}(t) = 0 & \text{sur } \Omega_s \\ \mathbf{t}[\mathbf{u}](t) = g(t) & \text{sur } \Gamma \\ \mathbf{u}(0) = \partial_t\mathbf{u}(0) = 0 \end{cases}$$

Par exemple, formulation variationnelle pour le problème acoustique :

$$\rho_f \int_{\Omega} \nabla\phi \nabla \tilde{\phi} d\Omega + \frac{\rho_f}{c_f^2} \int_{\Omega} \phi'' \tilde{\phi} d\Omega = \int_{\Gamma} \partial_n\phi \tilde{\phi} d\Gamma$$

Formulation variationnelle pour le problème de Neumann (acoustique ou élastodynamique) :

$$\begin{cases} a(\phi(t), \tilde{\phi}) + b(\partial_{tt}\phi(t), \tilde{\phi}) = (f(t), \tilde{\phi})_{\Gamma} \\ \forall \tilde{\phi} \in H^1(\Omega), \quad t \in [0, T] \\ \phi(0) = \partial_t\phi(0) = 0 \end{cases}$$

# Problème d'évolution de Neumann

Trouver  $\phi(t) \in H^1(\Omega)$  tel que

$$\begin{cases} a(\phi(t), \tilde{\phi}) + b(\partial_{tt}\phi(t), \tilde{\phi}) = (f(t), \tilde{\phi})_{\Gamma} \\ \forall \tilde{\phi} \in H^1(\Omega), \quad t \in [0, T] \\ \phi(0) = \partial_t\phi(0) = 0 \end{cases}$$

Identité d'énergie :  $\|\phi\|_{1,\Omega,T}^2 + \|\partial_t\phi\|_{0,\Omega,T}^2 \leq C \|f\|_{H^1([0,T];L^2(\Gamma))}^2$

$f \in H^2([0, T]; H^{-1/2}(\Gamma))$  conduit à une solution  $\phi \in C^1([0, T]; H^1(\Omega))$   
 $\rightarrow \partial_t\phi \in C^0([0, T]; H^1(\Omega))$   
 $\rightarrow \partial_t\phi|_{\Gamma} \in C^0([0, T]; H^{1/2}(\Gamma))$

La trace de la solution a une régularité inférieure à celle des données !

# Problème elliptique de Neumann

Pour un problème de la forme :

$$\begin{cases} \Delta\phi(t) + \phi(t) = 0 & \text{sur } \Omega_f \\ \partial_n\phi(t) = f(t) & \text{sur } \Gamma \\ \phi(0) = \partial_t\phi(0) = 0 \end{cases}$$

Trouver  $\phi(t) \in H^1(\Omega)$  tel que

$$\begin{cases} a(\phi(t), \tilde{\phi}) + b(\phi(t), \tilde{\phi}) = (f(t), \tilde{\phi})_{\Gamma} \\ \forall \tilde{\phi} \in H^1(\Omega), \quad t \in [0, T] \\ \phi(0) = \partial_t\phi(0) = 0 \end{cases}$$

# Problème elliptique de Neumann

Trouver  $\phi(t) \in H^1(\Omega)$  tel que

$$\begin{cases} a(\phi(t), \tilde{\phi}) + b(\phi(t), \tilde{\phi}) = (f(t), \tilde{\phi})_{\Gamma} \\ \forall \tilde{\phi} \in H^1(\Omega), \quad t \in [0, T] \\ \phi(0) = \partial_t \phi(0) = 0 \end{cases}$$

$$\begin{aligned} f \in H^2([0, T]; H^{-1/2}(\Gamma)) \quad \text{conduit à une solution} \quad \phi \in H^2([0, T]; H^1(\Omega)) \\ \rightarrow \partial_t \phi \in H^1([0, T]; H^1(\Omega)) \\ \rightarrow \partial_t \phi|_{\Gamma} \in H^1([0, T]; H^{1/2}(\Gamma)) \end{aligned}$$

La trace de la solution a la même régularité que les données !

# Stratégie de couplage itérative : deux problèmes de Robin

**Décomposition de domaine** : à chaque itération  $i$ , 2 problèmes distincts sur chaque sous-domaine.

Itérations globales en temps :  $i \geq 1$ , sur tout l'intervalle de temps  $[0, T]$  :

$$\begin{cases} \Delta \phi^i(t) + \frac{1}{c_f^2} \partial_{tt} \phi^i(t) = 0 & \text{sur } \Omega_f \\ k \partial_n \phi^i(t) - \rho_f \partial_t \phi^i(t) = f(t) & \text{sur } \Gamma \\ \phi^i(0) = \partial_t \phi^i(0) = 0 \end{cases}$$

Problème acoustique de Robin (Z-BEM)

$$\begin{cases} -\operatorname{div}(\sigma[\mathbf{u}^i]) + \rho_s \partial_{tt} \mathbf{u}^i(t) = 0 & \text{sur } \Omega_s \\ \mathbf{t}[\mathbf{u}^i](t) + k \partial_t \mathbf{u}^i = g(t) & \text{sur } \Gamma \\ \mathbf{u}^i(0) = \partial_t \mathbf{u}^i(0) = 0 \end{cases}$$

Problème élastodynamique de Robin (FEM)

avec  $k > 0$

Ces deux problèmes d'évolution sont-ils bien posés ?



# Problème d'évolution de Robin

On considère l'un des deux problèmes

$$\begin{cases} \Delta\phi(t) + \frac{1}{c_f^2}\partial_{tt}\phi(t) = 0 & \text{sur } \Omega_f \\ k\partial_n\phi(t) - \rho_f\partial_t\phi(t) = f(t) & \text{sur } \Gamma \\ \phi(0) = \partial_t\phi(0) = 0 \end{cases}$$

ou

$$\begin{cases} -\operatorname{div}(\sigma[\mathbf{u}]) + \rho_s\partial_{tt}\mathbf{u}(t) = 0 & \text{sur } \Omega_s \\ \mathbf{t}[\mathbf{u}](t) + k\partial_t\mathbf{u} = g(t) & \text{sur } \Gamma \\ \mathbf{u}(0) = \partial_t\mathbf{u}(0) = 0 \end{cases}$$

Par exemple, formulation variationnelle pour le problème acoustique :

$$\int_{\Omega} \nabla\phi \nabla\tilde{\phi} d\Omega + \frac{1}{c_f^2} \int_{\Omega} \phi'' \tilde{\phi} d\Omega - \frac{\rho_f}{k} \int_{\Gamma} \phi' \tilde{\phi} d\Gamma = \left( \frac{1}{k} f, \tilde{\phi} \right)_{\Gamma}$$

Formulation variationnelle pour le problème de Robin (acoustique ou élastodynamique) :

$$\begin{cases} a(\phi(t), \tilde{\phi}) + b(\phi''(t), \tilde{\phi}) + c(\phi'(t), \tilde{\phi}) = \frac{1}{k} (f(t), \tilde{\phi})_{\Gamma} \\ \forall \tilde{\phi} \in H^1(\Omega), \quad t \in [0, T] \\ \phi(0) = \partial_t\phi(0) = 0 \end{cases}$$

terme d'amortissement supplémentaire

# Problème d'évolution de Robin

Trouver  $\phi(t) \in H^1(\Omega)$  tel que

$$\begin{cases} a(\phi(t), \tilde{\phi}) + b(\phi''(t), \tilde{\phi}) + c(\phi'(t), \tilde{\phi}) = \frac{1}{k} (f(t), \tilde{\phi})_{\Gamma} \\ \forall \tilde{\phi} \in H^1(\Omega), \quad t \in [0, T] \\ \phi(0) = \partial_t \phi(0) = 0 \end{cases}$$

Identité d'énergie :  $\|\phi\|_{1,\Omega,T}^2 + \|\partial_t \phi\|_{0,\Omega,T}^2 + \|\partial_t \phi\|_{0,\Gamma,T}^2 \leq C \|f\|_{0,\Gamma,T}^2$

# Problème d'évolution de Robin

Trouver  $\phi(t) \in H^1(\Omega)$  tel que

$$\begin{cases} a(\phi(t), \tilde{\phi}) + b(\phi''(t), \tilde{\phi}) + c(\phi'(t), \tilde{\phi}) = \frac{1}{k} (f(t), \tilde{\phi})_{\Gamma} \\ \forall \tilde{\phi} \in H^1(\Omega), \quad t \in [0, T] \\ \phi(0) = \partial_t \phi(0) = 0 \end{cases}$$

Identité d'énergie :  $\|\phi\|_{1,\Omega,T}^2 + \|\partial_t \phi\|_{0,\Omega,T}^2 + \|\partial_t \phi\|_{0,\Gamma,T}^2 \leq C \|f\|_{0,\Gamma,T}^2$

$f \in L^2([0, T]; L^2(\Gamma))$  permet de définir  $\partial_t \phi|_{\Gamma} \in L^2([0, T]; L^2(\Gamma))$

La trace de la solution en vitesse a la même régularité que la donnée !

- Un problème transitoire de **Neumann** présente une **perte de régularité** de la solution en vitesse sur la frontière par rapport à la donnée.
  - Un problème transitoire de **Robin** a une solution en vitesse sur la frontière de même régularité que la donnée.
- Permet de définir une procédure itérative à convergence **garantie**.

# Idée de preuve de convergence utilisant des estimations d'énergie<sup>1</sup>

1. Les champs d'erreur ( $\phi_{err}^i = \phi^i - \phi$ ) à l'itération  $i$  dans  $\Omega_f$  vérifient

$$a(\phi^i(t), \partial_t \phi^i(t)) + b(\partial_{tt} \phi^i(t), \partial_t \phi^i(t)) = -(v^i(t), \partial_t \phi^i(t))_{\Gamma} \quad t \in [0, T] \quad (\text{a.})$$

$$A(\mathbf{u}^i, \partial_t \mathbf{u}^i(t)) + B(\partial_{tt} \mathbf{u}^i(t), \partial_t \mathbf{u}^i(t))_{\Gamma} = (\mathbf{t}^i(t), \partial_t \mathbf{u}^i(t))_{\Gamma} \quad t \in [0, T] \quad (\text{b.})$$

2. En intégrant sur  $t$  dans  $[0, s]$  et sommant a). et b). on obtient l'identité d'énergie

$$E^i(s) = -(v^i, \partial_t \phi^i)_{\Gamma, s} + (\mathbf{t}^i, \partial_t \mathbf{u}^i)_{\Gamma, s} \\ \text{avec } E^i(s) = \frac{1}{2} \{ a(\phi^i(s), \phi^i(s)) + b(\partial_t \phi^i(s), \partial_t \phi^i(s)) + A(\mathbf{u}^i(s), \mathbf{u}^i(s)) + B(\partial_t \mathbf{u}^i(s), \partial_t \mathbf{u}^i(s))_{\Gamma} \}$$

3. On introduit les traces entrantes et sortantes :

$$\mathbb{B}^i = \begin{Bmatrix} f^i \\ g^i \end{Bmatrix} = \begin{Bmatrix} -\rho_f \partial_t \phi^i + k v^i \\ \mathbf{t}^i + k \mathbf{u}^i \end{Bmatrix} \quad \text{et} \quad \bar{\mathbb{B}}^i = \begin{Bmatrix} \rho_f \partial_t \phi^i + k v^i \\ \mathbf{t}^i - k \mathbf{u}^i \end{Bmatrix}$$

tels que les itérations de Robin s'écrivent :

$$\mathbb{B}^{i+1} = \mathbb{X} \bar{\mathbb{B}}^i \quad \text{avec } \mathbb{X} \mathbb{X} = \mathbb{I} \text{ et } \|\mathbb{X} \mathbb{B}\|_{\Gamma, T, \mathbb{K}}^2 = \|\mathbb{B}\|_{\Gamma, T, \mathbb{K}}^2$$

---

1. DAUTRAY et LIONS, *Mathematical Analysis and Numerical Methods for science and technology : Volume 5 : Evolution problems 1*, 1988

4. On montre que :

$$E^i(s) = -(v^i, \partial_t \phi^i)_{\Gamma, s} + (\mathbf{t}^i, \partial_t \mathbf{u}^i)_{\Gamma, s} = \frac{1}{4} \|\mathbb{B}^i\|_{\Gamma, s, K}^2 - \frac{1}{4} \|\overline{\mathbb{B}}^i\|_{\Gamma, s, K}^2$$

et que la somme des  $E^i$  sur les itérations  $i$  s'écrit

$$\sum_{i=0}^{N-1} \left\{ \underbrace{E^i(s) + \frac{1}{r} \left( \frac{1}{r} - 1 \right) \|\mathbb{X}\overline{\mathbb{B}}^i - \mathbb{B}^i\|_{\Gamma, s, K}^2}_{\geq 0} \right\} + \underbrace{\frac{1}{r} \|\mathbb{B}_N\|_{\Gamma, s, K}^2}_{\text{indépendent de } i} = \underbrace{\frac{1}{r} \|\mathbb{B}_0\|_{\Gamma, s, K}^2}_{\text{indépendent de } i}$$

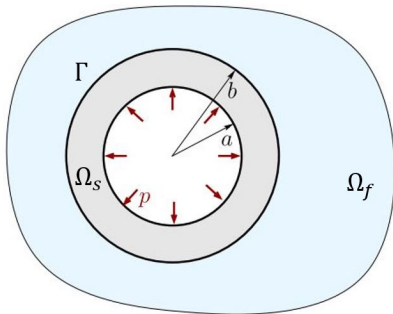
$$\Rightarrow \lim_{i \rightarrow \infty} \left\{ E^i(s) + \frac{1}{r} \left( \frac{1}{r} - 1 \right) \|\mathbb{X}\overline{\mathbb{B}}^i - \mathbb{B}^i\|_{\Gamma, s, K}^2 \right\} = 0$$

$$\Rightarrow \lim_{i \rightarrow \infty} E^i(s) = 0 \quad \forall s \in [0, T]$$

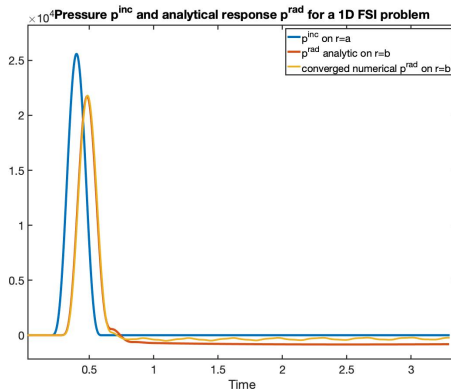
5. Les champs d'erreur tendent vers 0 quand  $i \rightarrow \infty$

$$\lim_{i \rightarrow \infty} \|\phi^i - \phi\|_{H^1(\Omega)}^2 = 0 \quad \text{et} \quad \lim_{i \rightarrow \infty} \|\partial_t \phi^i - \partial_t \phi\|_{L^2(\Omega)}^2 = 0$$

# Validation numérique : problème axisymétrique couplé



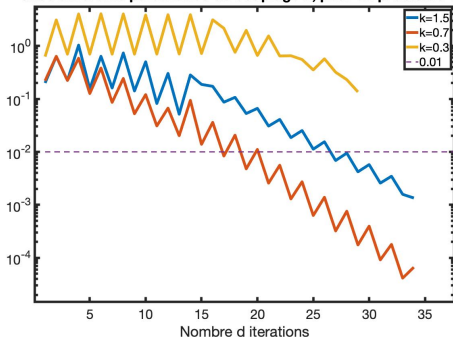
Problème couplé axisymétrique



Pression incidente interne  $p^{inc}(r = a)$  et pression rayonnée  $p^{rad}(r = b)$

# Validation numérique : Convergence avec et sans relaxation

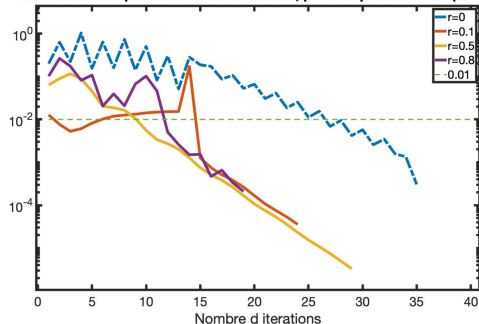
Ecart relatif sur la vitesse normale en norme L2 (indicateur de stagnation avec différents paramètres de couplage  $k$ , pour un problème 1D



Conditions de Robin :

$$\begin{cases} k \partial_n \phi(t) - \rho_f \partial_t \phi(t) = f(t) \\ \mathbf{t}[\mathbf{u}](t) + k \partial_t \mathbf{u} = g(t) \end{cases}$$

Ecart relatif sur la vitesse normale en norme L2 (indicateur de stagnation avec différents paramètres de relaxation, pour un problème 1D ( $k=1.5$ ))

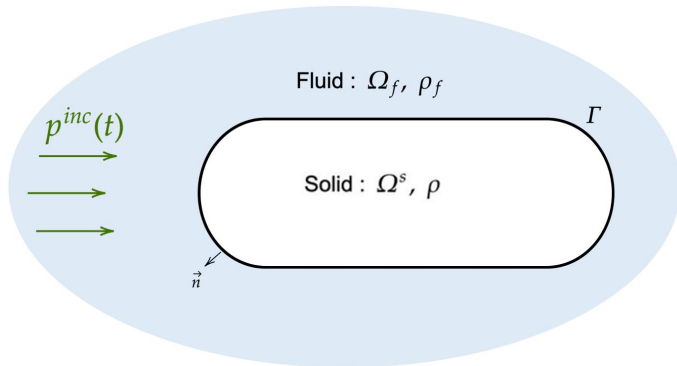


Conditions de Robin relaxées :

$$\begin{cases} k \partial_n \phi^i(t) - \rho_f \partial_t \phi^i(t) = [1 - r] \alpha^{i-1} + r f(t) \\ \mathbf{t}[\mathbf{u}^i](t) + k \partial_t \mathbf{u}^i = [1 - r] \beta^{i-1} + r g(t) \end{cases}$$

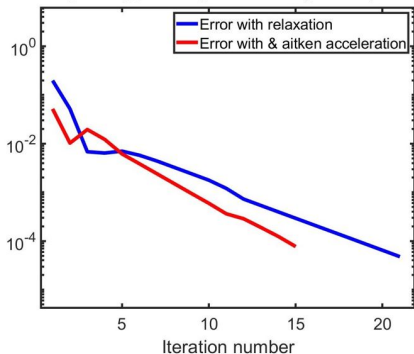


## Validation numérique : problème couplé 2D



# Validation numérique : Convergence et accélération aitken

Ecart relatif sur la vitesse normale en norme L2 (indicateur de stagnation) pour un problème 2D ( $k=0.725$ ,  $r=0.5$ )



Accélérateur de convergence Aitken  $\forall i \geq 0$

$$B^i = \begin{Bmatrix} f^i(t) \\ g^i(t) \end{Bmatrix} \quad \text{and} \quad \Delta^i = B^i - B^{i+1}$$

$$t^* = \frac{(\Delta^i, \Delta^i - \Delta^{i-1})}{\|\Delta^i - \Delta^{i-1}\|_2^2}$$

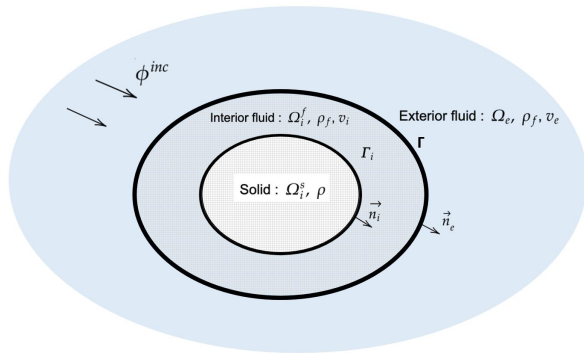
$$B^{i+1} = B^i + t^* (B^{i-1} - B^i)$$

$$\begin{cases} k \partial_n \phi^{i+1}(t) - \rho_f \partial_t \phi^{i+1}(t) = f^i(t) + t^* (f^{i-1}(t) - f^i(t)) \\ \mathbf{t}[\mathbf{u}^{i+1}](t) + k \partial_t \mathbf{u}^{i+1} = g^i(t) + t^* (g^{i-1}(t) - g^i(t)) \end{cases}$$

- Un problème transitoire de **Robin** admet une solution en vitesse sur la frontière de même régularité que la donnée.  
→ Permet de définir une procédure itérative à convergence **garantie**.
- Les résultats numériques 2D corroborent les conclusions théoriques sur la convergence.

Inconvénient : dans un contexte industriel, l'imposition de conditions de Robin sur le domaine solide peut ne pas être possible.

# Couplage acoustique-acoustique avec conditions de Robin



Avantages :

- Pas de condition Robin imposée dans la partie solide
- Couplage avec conditions de Robin à convergence garantie
- Possibilité d'introduire des non-linéarités dans la partie FEM-fluide

# Conclusion

- Un problème transitoire de **Robin** admet une solution en vitesse sur la frontière de même régularité que la donnée.  
→ Permet de définir une procédure itérative à convergence **garantie**.
- Les résultats numériques 2D corroborent les conclusions théoriques sur la convergence.
- Une procédure itérative acoustique-acoustique de Robin a une convergence **garantie**.

Merci pour votre attention !

# Méthode des éléments de frontière (BEM) : Représentation intégrale

## Fonction de Green acoustique 2D

$$\Delta G(\mathbf{x}, \mathbf{y}) + k^2 G(\mathbf{x}, \mathbf{y}) = -\delta(\mathbf{y}), \quad (\text{acoustique 2D : } G(\mathbf{x}, \mathbf{y}) = \frac{i}{4} H_0^{(1)}(k|\mathbf{y} - \mathbf{x}|))$$

La formule de Green ne peut pas s'appliquer car  $\delta_y \notin L^2$ .

Théorème de représentation pour le problème extérieur

$$\int_{\Gamma} (-G(\mathbf{x}, \mathbf{y}) [\partial_n \psi]^s(\mathbf{y}) + \partial_n G(\mathbf{x}, \mathbf{y}) [\psi(\mathbf{y})]^s) d\Gamma = \begin{cases} 0, & \mathbf{x} \in \Omega_s \\ \psi(\mathbf{x}), & \mathbf{x} \in \Omega_f \end{cases}$$

Opérateurs intégraux de simple et double couche :

$$Sp(\mathbf{x}) := \int_{\Gamma} G(\mathbf{x} - \mathbf{y}) p(\mathbf{y}) d\Gamma_y, \quad Dq(\mathbf{x}) := \int_{\Gamma} \frac{\partial G}{\partial \mathbf{n}(\mathbf{y})}(\mathbf{x} - \mathbf{y}) q(\mathbf{y}) d\Gamma_y, \quad \mathbf{x} \notin \Gamma \quad (G \text{ connue})$$

Représentation intégrale (= produits matrice-vecteur)

$$\boxed{\psi(\mathbf{x}) = D[\psi]_{\Gamma}(\mathbf{x}) - S[\partial_n \psi]_{\Gamma}(\mathbf{x}), \quad \forall \mathbf{x} \in \Omega_f}$$

$$[f]_{\Gamma} = f^s - f^f, \text{ la différence des traces}$$

Il faut résoudre une équation intégrale pour déterminer  $[\psi]_{\Gamma}$  et  $[\partial_n \psi]_{\Gamma}$

# Solution semi-analytique

Problème IFS axisymétrique :

$$\begin{cases} \frac{1}{r} \partial_r (r \partial_r u) - \frac{u}{r^2} - \frac{1}{c^2} \partial_{tt} u = 0 & (\text{élastodynamique}) \\ \frac{1}{r} \partial_r (r \partial_r \phi) - \frac{1}{c^2} \partial_{tt} \phi = 0 & (\text{équation des ondes}) \end{cases}$$

Passage dans le domaine de Laplace

$$\begin{cases} \frac{1}{r} \partial_r (r \partial_r \bar{u}) - \frac{\bar{u}}{r^2} - \frac{1}{c^2} s^2 \bar{u} = 0 & (\text{élastodynamique}) \\ \frac{1}{r} \partial_r (r \partial_r \bar{\phi}) - \frac{1}{c^2} s^2 \bar{\phi} = 0 & (\text{équation des ondes}) \end{cases}$$

= équations de Bessel modifiées

Solutions analytiques fréquentielles

$$\begin{cases} \bar{u}(r, s) = A(s) I_1\left(\frac{sr}{c}\right) + B(s) K_1\left(\frac{sr}{c}\right) \\ \bar{\Phi}(r, s) = C(s) K_0\left(\frac{sr}{c}\right) \end{cases}$$

avec (A,B,C) proportionnels à  $\bar{\mathbf{P}}(s)$  donc

$$\begin{cases} \bar{u}(r, s) = \bar{\mathbf{U}}_1(r, s) \bar{\mathbf{P}}(s) \\ \bar{\Phi}(r, s) = \bar{\Phi}_1(r, s) \bar{\mathbf{P}}(s) \end{cases}$$

Retour temporel par transformée en Z inverse

$$\Rightarrow \begin{cases} u(r, t_n) = \frac{1}{L} \sum_{k=0}^{L-1} \bar{u}(r, \xi_k) \xi_k^{-n} \\ \phi(r, t_n) = \frac{1}{L} \sum_{k=0}^{L-1} \bar{\Phi}(r, \xi_k) \xi_k^{-n} \end{cases} \quad n \in [0, N]$$